



# 原子気体ボース凝縮体で実現 する量子乱流

大阪市立大理 坪田誠、小林未知数

9月21日・日本物理学会2007年年次大会 21pRG-2

素励起物理学研究室  
Elementary Excitation Physics Laboratory


(物性理論研究室)





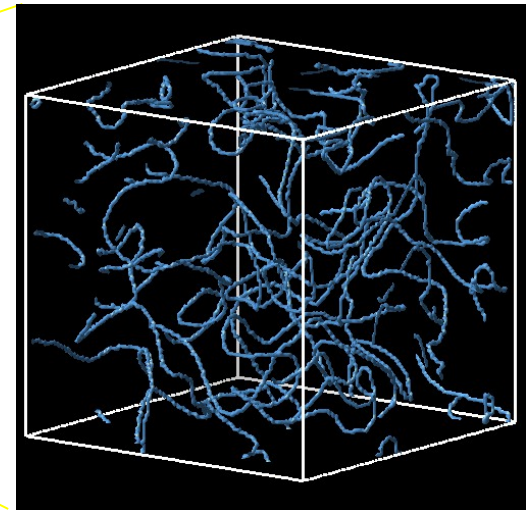
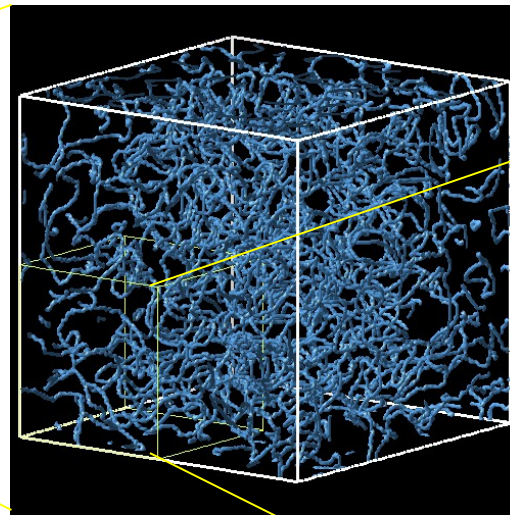
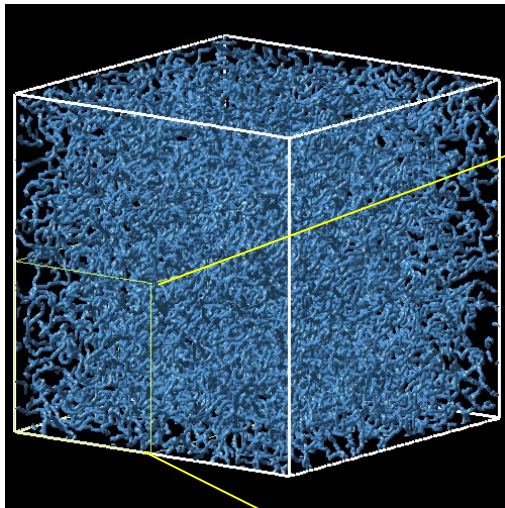
# 発表内容

---

1. 量子乱流のイントロダクション
  2. 原子気体ボース凝縮体における量子乱流
  3. Gross-Pitaevskii方程式のシミュレーション
  4. 数値計算結果
  5. まとめ
- 
-

# 量子乱流のイントロダクション

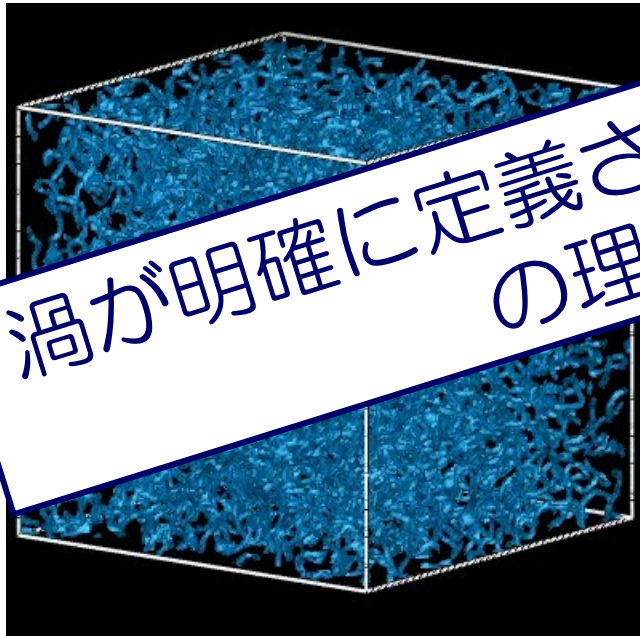
量子乱流は量子渦の（自己相似的な）タングル状態によって実現される



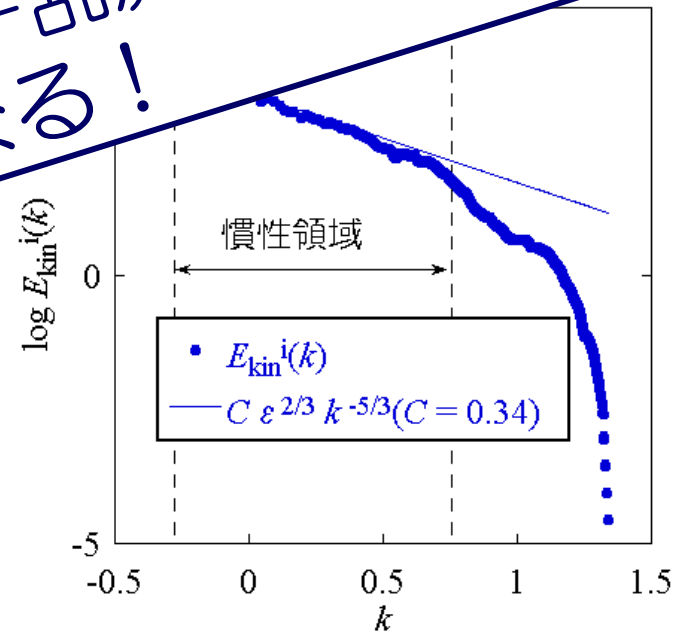
# Gross-Pitaevskii方程式を用いた量子乱流のシミュレーション

量子乱流のエネルギースペクトルは古典型乱流におけるKolmogorov則を示す

渦が明確に定義される量子乱流は乱流研究の理想型になる!



乱流中の渦運動



M. Kobayashi and M. Tsubota, PRL **94**, 065302  
(2005) M. Kobayashi and M. Tsubota, JPSJ **74**, 3248  
(2005)

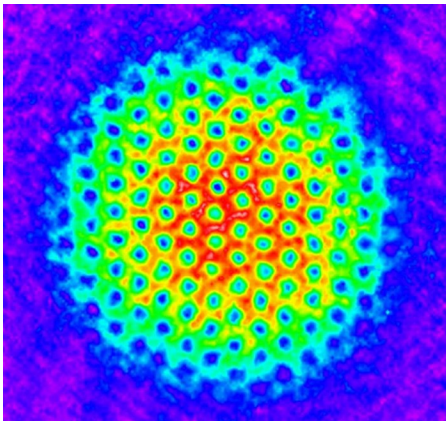
# 超流動He中の量子渦

## 量子渦の観測

- 第2音波

超流動Heにおいて量子渦の空間分布を  
観測するのは非常に難しい

通常の流体は  
渦の密度だけ



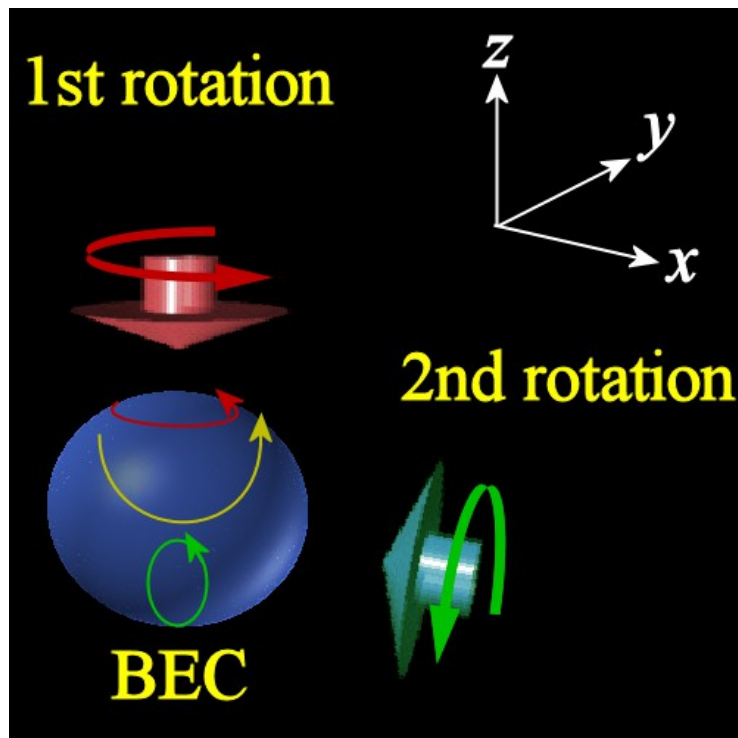
原子気体における渦格子

原子気体ボース凝縮体では渦が  
直接見えるため、渦の空間分布  
が観測可能である

→量子乱流研究の格好の系な  
のでは？（しかし現状では全  
く研究されていない）

# 2（または3）軸回転を用いた原子気体量子乱流の提案

## 2軸回転（歳差回転）下におけるボース凝縮体



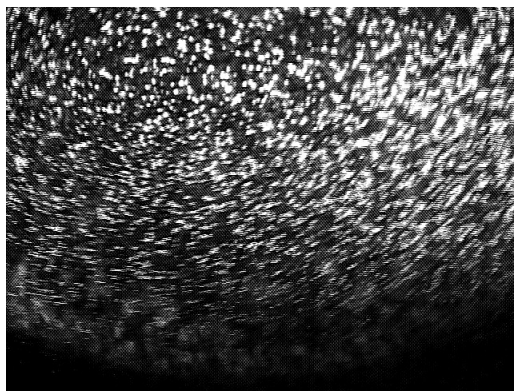
### 回転の特徴

- お互いの回転は非可換（斜め軸周りの単一回転ではない）
- 片方の回転を止めるともう片方の単一回転になる
- 第1回転によって渦格子ができ、第2回転を大きくしてゆくと、やがて渦格子を保てなくなり、乱流へ転移する

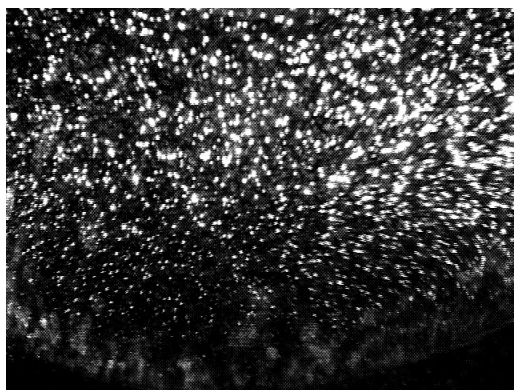
# 古典流体（水）ではすでに実現されている



乱流が効率よく生成される！

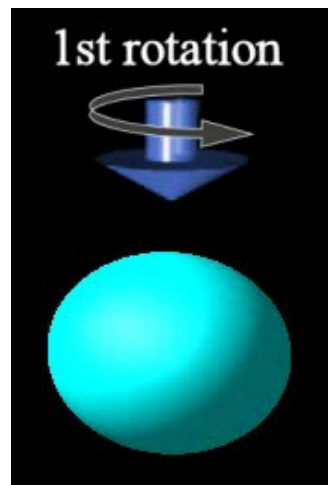


第2回転弱い

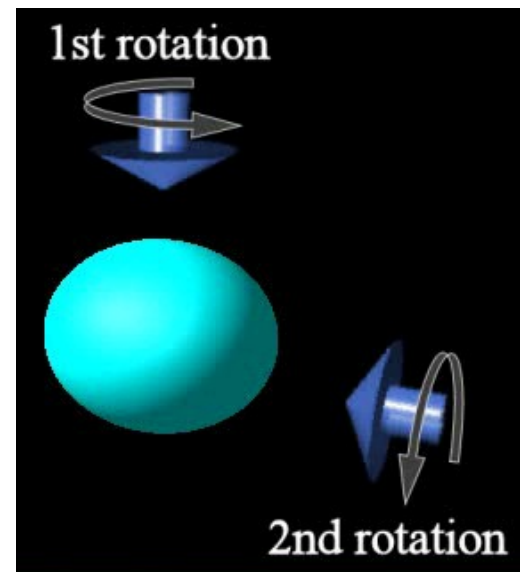


第2回転強い

原子気体ボース凝縮では磁気トラップの異方性を回転させることで2軸回転が実現される。



単一回転



2軸回転

S. Goto, N. Ishii, S. Kida, and M. Nishioka  
Phys. Fluids 19, 061705 (2007)

# Gross-Pitaevskii方程式のシミュレーション

$$\hbar[i - \gamma(x)] \frac{\partial}{\partial t} \Phi(x) = \left[ -\frac{\hbar^2}{2m} \nabla^2 - \mu + U(\mathbf{x}) + \frac{4\pi\hbar^2 a}{m} |\Phi(x)|^2 - \boldsymbol{\Omega}(t) \cdot \mathbf{L}(\mathbf{x}) \right] \Phi(x)$$

$U(\mathbf{x})$  : 磁気トラップポテンシャル

$a$  :  $s$  波散乱長

$\boldsymbol{\Omega}(t)$  : 回転角振動数

$\mathbf{L}(\mathbf{x})$  : 角運動量演算子

2軸回転

$$\boldsymbol{\Omega}(t) = (\Omega_x, \Omega_z \sin \Omega_x t, \Omega_z \cos \Omega_x t)$$

調和振動子型磁気トラップ (弱異方性)

$$U(\mathbf{x}) = \frac{m\omega^2}{2} [(1 - \epsilon_1)(1 - \epsilon_2)x^2 + (1 + \epsilon_1)(1 - \epsilon_2)y^2 + (1 + \epsilon_2)z^2]$$

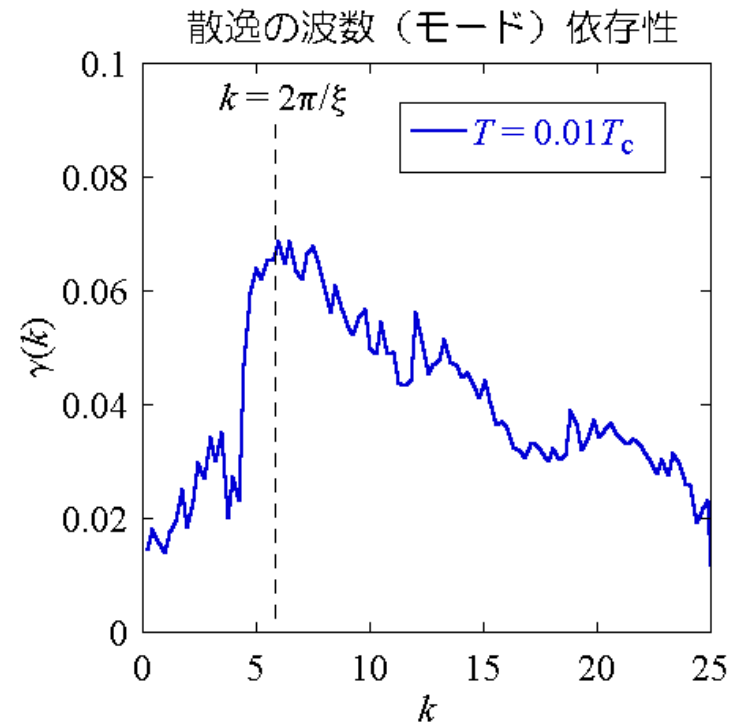


# Gross-Pitaevskii方程式のシミュレーション

$$\hbar[i - \gamma(x)] \frac{\partial}{\partial t} \Phi(x) = \left[ -\frac{\hbar^2}{2m} \nabla^2 - \mu + U(\mathbf{x}) + \frac{4\pi\hbar^2 a}{m} |\Phi(x)|^2 - \boldsymbol{\Omega}(t) \cdot \mathbf{L}(\mathbf{x}) \right] \Phi(x)$$

MK & MT, PRL. **97**, 145301 (2006)

Gross-Pitaevskii & Bogoliubov- de Gennes方程式を用いた乱流中での素励起への散逸の計算



# 計算パラメータ

$^{87}\text{Rb}$  原子 :  $m = 1.46 \times 10^{-25} \text{ kg}$ ,  $a = 5.61 \text{ nm}$   
を用いる  $N = 2.50 \times 10^5$ ,  $\omega = 150 \times 2\pi \text{ Hz}$   
 $\Omega_z = 0.7\omega$ ,  $\Omega_x = 0.06\omega$ ,  $\epsilon_1 = \epsilon_2 = 0.025$

計算法 : 空間 : チェビシェフ擬スペクトル法

512<sup>3</sup> 格子点数、計算空間  $V = 14.0^3 \mu\text{m}$

境界条件 : ディリクレ境界条件を課したタウ法

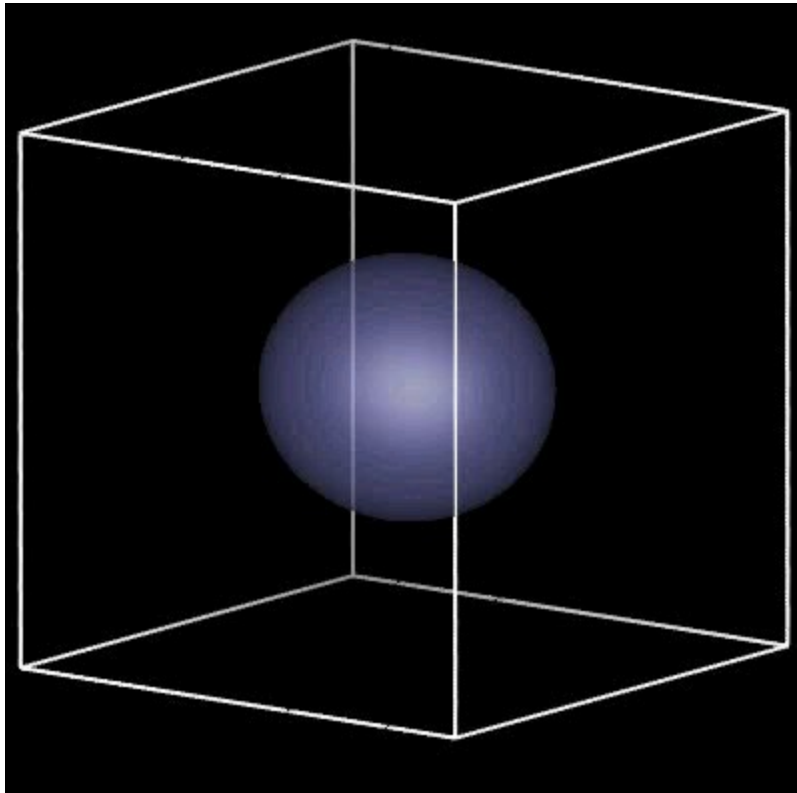
空間 : 4 次のルンゲクッタ法 ( $\omega\Delta t = 10^{-4}$ )

初期条件 : 回転・異方性無しの定常解

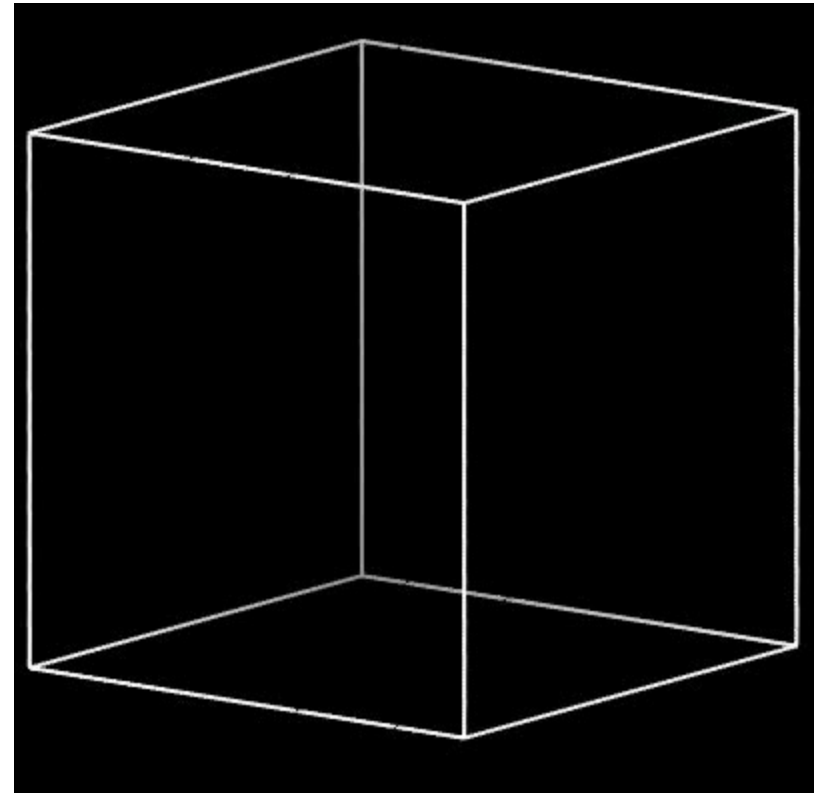
エネルギースペクトルの計算 : 3 次スプライン補間

# 計算結果

密度の等値面



Thomas-Fermi半径内の渦



渦が格子を組まずにタングル状態となる

# 計算結果

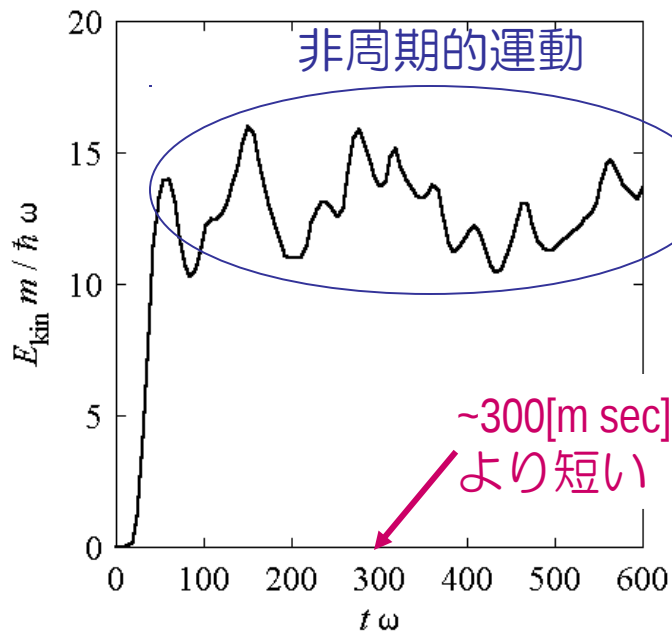
## エネルギースペクトル

$$E_{\text{kin}}^i = \int d\mathbf{x} [|\Phi(\mathbf{x})|\nabla\theta(\mathbf{x})|^i]^2$$

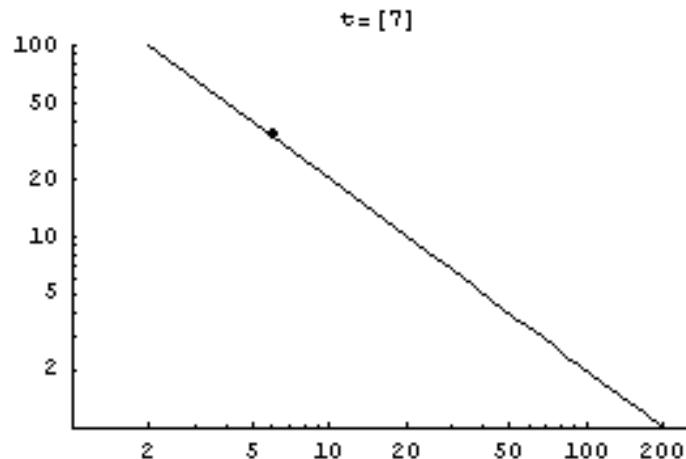
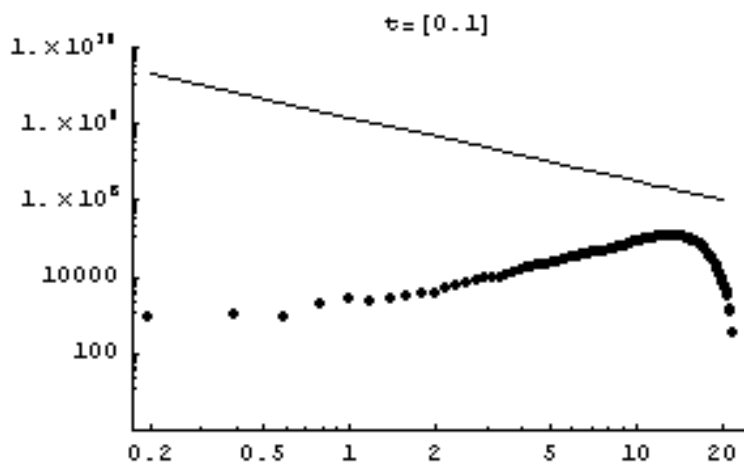
$$\text{div}\{|\Phi(\mathbf{x})|\nabla\theta(\mathbf{x})\}^i = 0$$

$E_{\text{kin}}$  の非圧縮成分 (渦の運動エネルギー)

量子渦の運動エネルギー



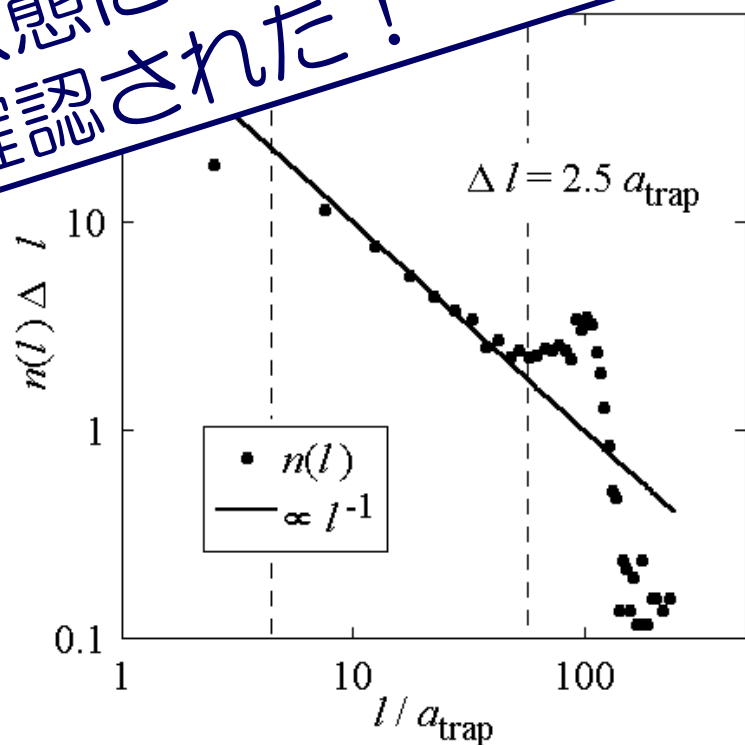
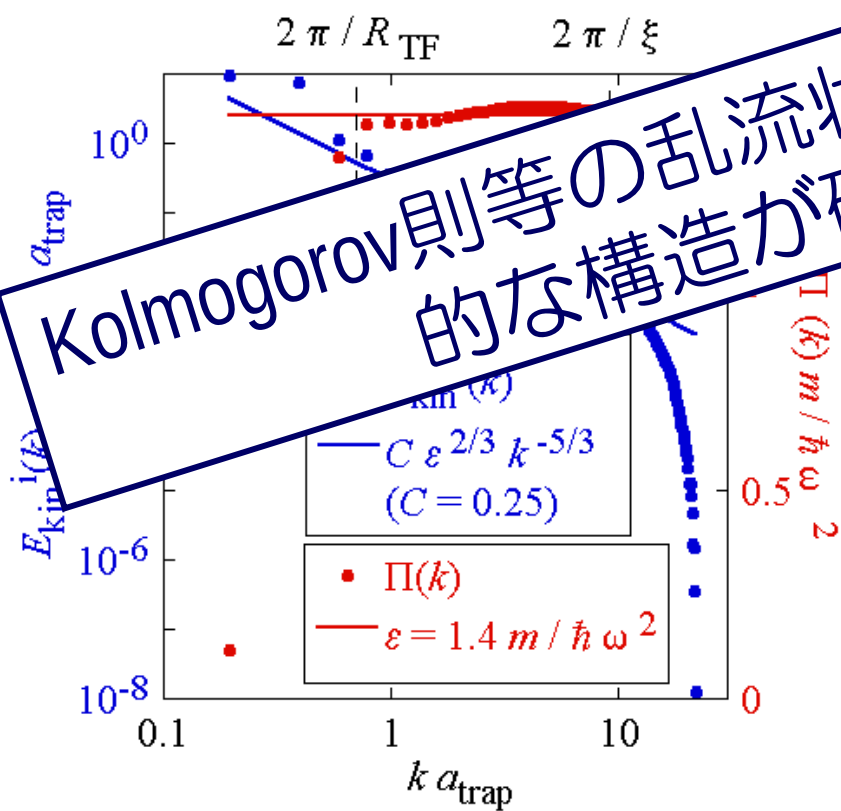
渦輪のサイズ分布



# 計算結果

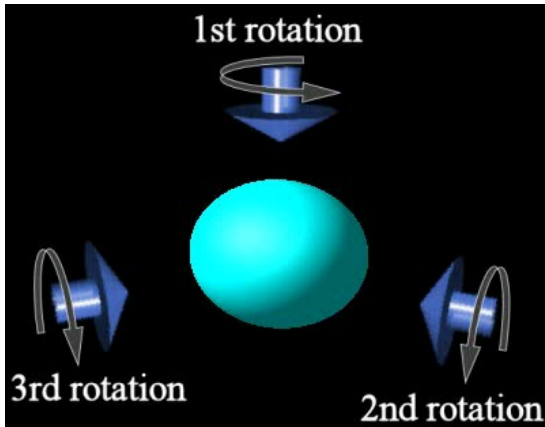
乱流状態におけるアンサンブル平均

エネルギースペクトル  
とエネルギー流束



Kolmogorov則等の乱流状態における自己相似的な構造が確認された!

# 3軸回転：より等方的な乱流を目指して..



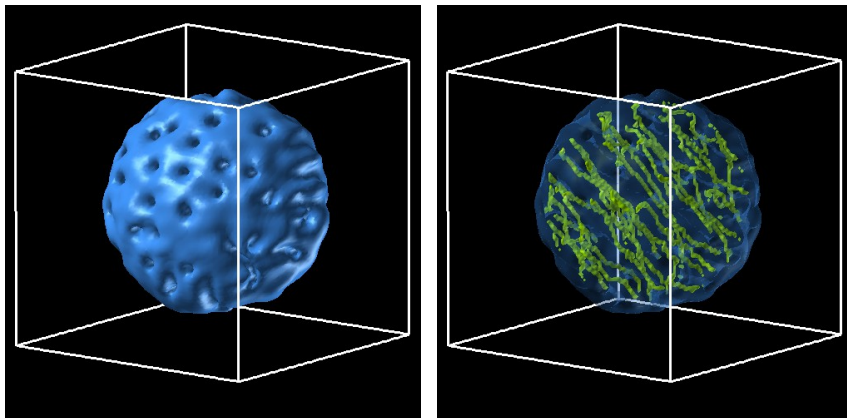
2軸回転では1つの軸回りの異方性が残ってしまう



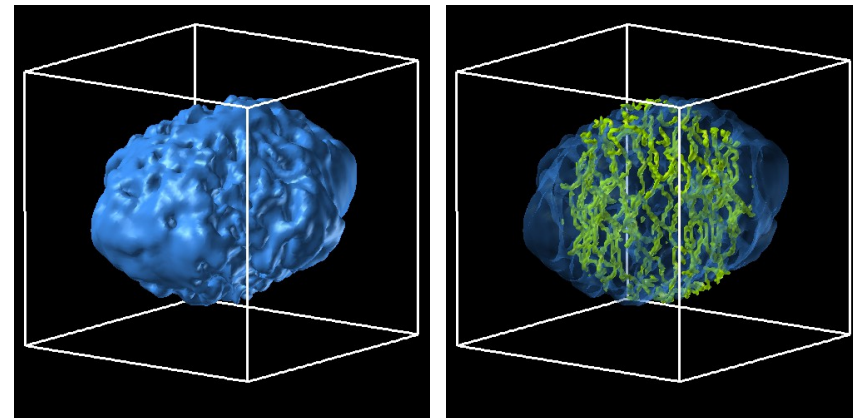
## 3軸回転の導入

$$\Omega(t) = (\omega_x \cos \omega_y t + \omega_z \cos \omega_x t \sin \omega_y t, \omega_y + \omega_z \sin \omega_x t, \omega_x \sin \omega_y t + \omega_z \cos \omega_x t \cos \omega_y t)$$

2軸回転乱流

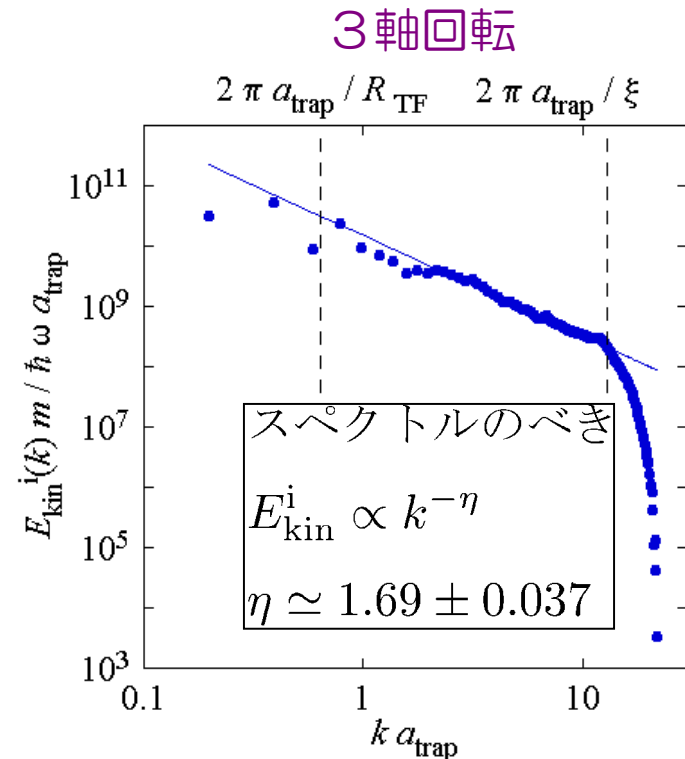
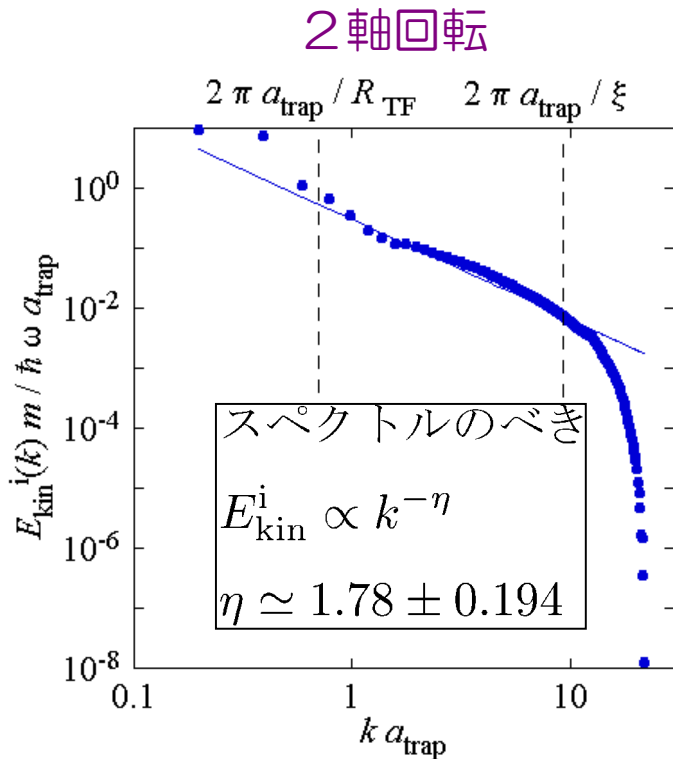


3軸回転乱流



# 乱流の異方性 1

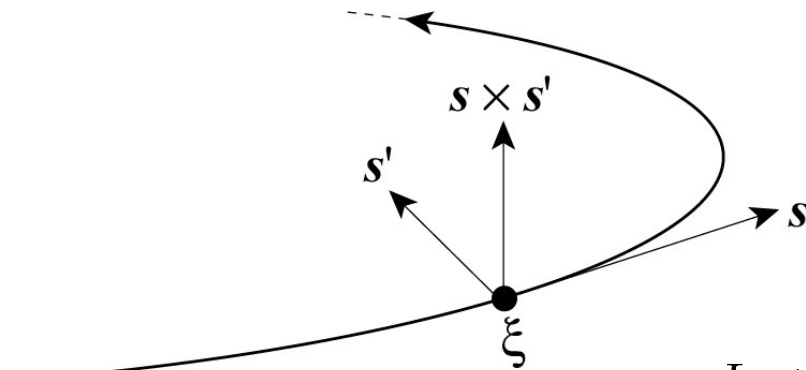
## エネルギースペクトル



3軸回転において、より等方的な結果( $\eta = 1.67$ )に近づいている (2軸回転では、より2次元的な乱流に近い)。

# 乱流の異方性2

## 渦の異方性パラメータ



$$(I_x, I_y, I_z) \equiv \frac{1}{L} \left( \int d\xi [\mathbf{s} \cdot \hat{\mathbf{x}}]^2, \int d\xi [\mathbf{s} \cdot \hat{\mathbf{y}}]^2, \int d\xi [\mathbf{s} \cdot \hat{\mathbf{z}}]^2 \right)$$

$$I_x + I_y + I_z = 1 \quad \left\{ \begin{array}{l} I_x + I_y + I_z = 1/3 : \text{完全に等方} \\ \text{どれかが } 1 : \text{完全に異方} \end{array} \right.$$

2軸回転 :  $(I_x, I_y, I_z) = (0.353, 0.276, 0.371)$  →  $y$ 軸の異方性が残っている

3軸回転 :  $(I_x, I_y, I_z) = (0.326, 0.327, 0.347)$  → 等方に近い

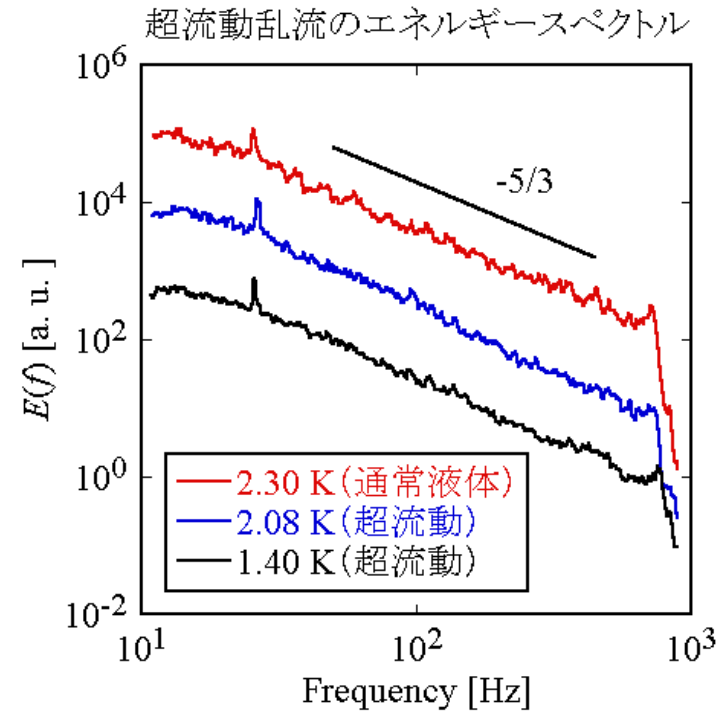
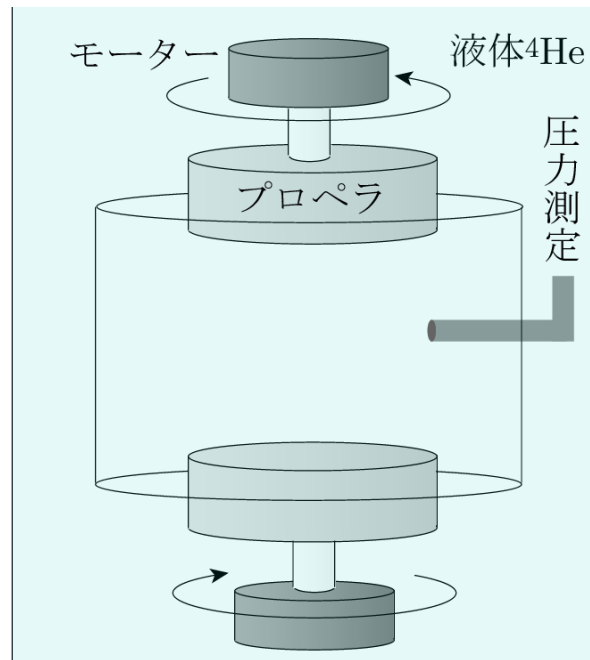


# まとめ

- 原子気体ボース凝縮体は量子乱流を研究するための1つの候補となりうる。
- 2（3）軸回転を用いることによって、原子気体ボース凝縮体の量子乱流状態が実現されうる。
- 原子気体ボース凝縮体で実現された量子乱流もまた、古典乱流との類似性を持っている（異なる性質も持っている→例：ケルビン波乱流のカスケード）。
- （今後の課題として）新しいダイナミカルな量子相転移現象としての量子渦格子—量子乱流転移の研究。

# 超流動Heにおける量子乱流

J. Maurer and P. Tabeling, Europhys. Lett. **43** (1), 29 (1998)

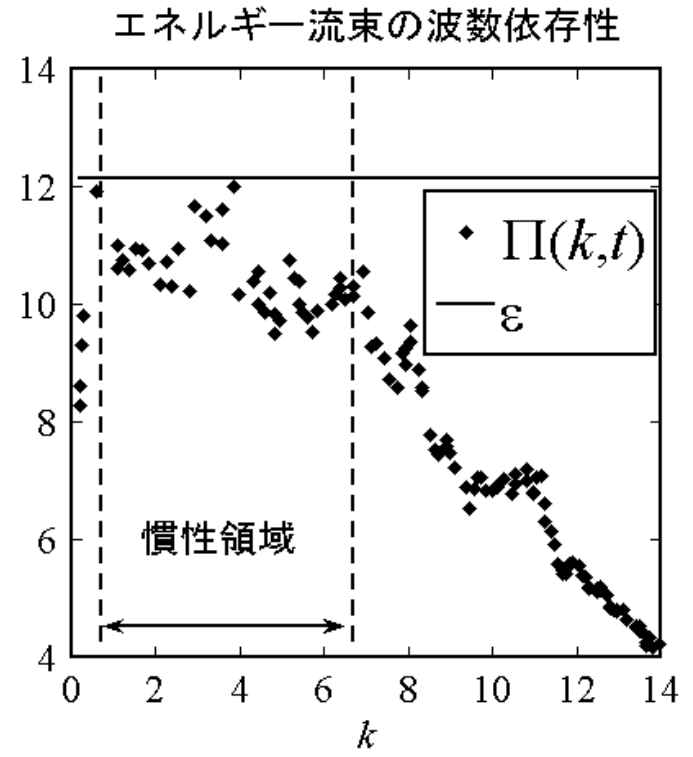
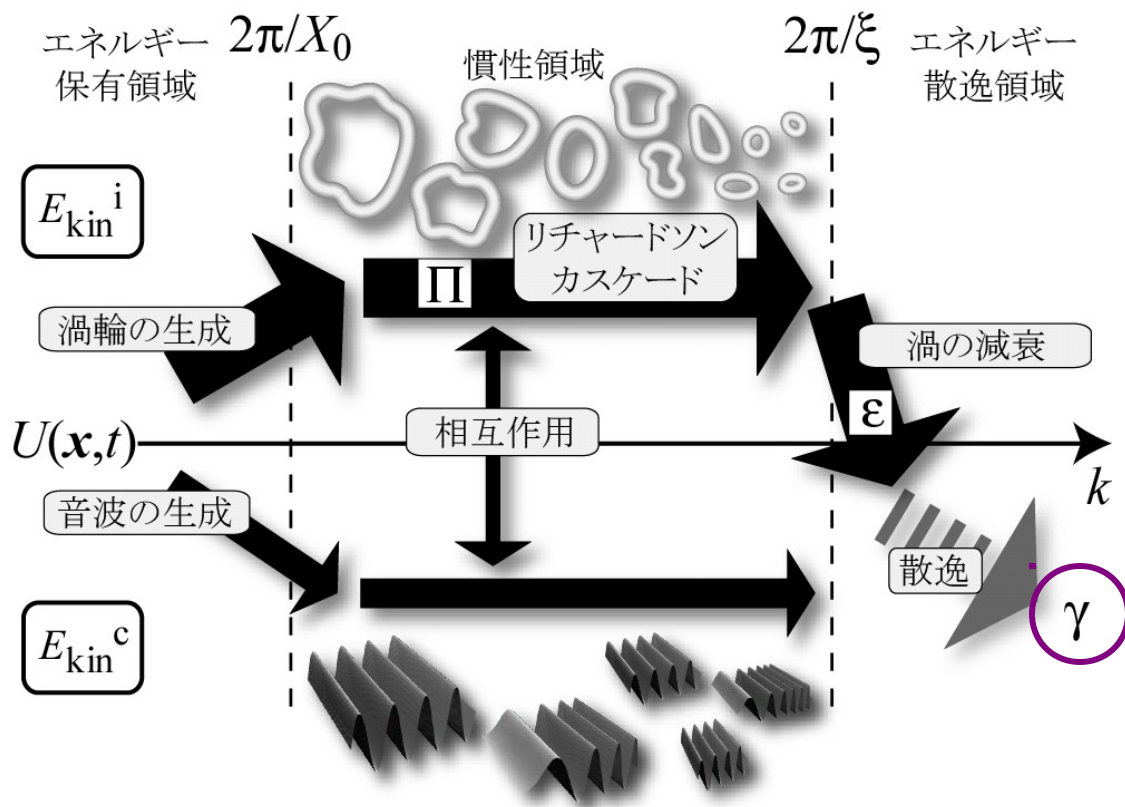


超流動Heにおける実験においても量子乱流と古典乱流の類似性は観測されている



# 超流動乱流における散逸構造

超流動乱流中には（渦芯よりも小さなスケールで）散逸が存在する



M. Kobayashi and M. Tsubota, PRL **94**, 065302  
 (2005) M. Kobayashi and M. Tsubota, JPSJ **74**, 3248

(2005)



## 2, Gross-Pitaevskii & Bogoliubov-de Gennes 方程式によるシミュレーション

### ボース場のハミルトニアンとその時間発展

$$\hat{H} = \int d\mathbf{x} \hat{\Psi}^\dagger(\mathbf{x}, t) \left[ -\nabla^2 - \mu + \frac{g}{2} |\hat{\Psi}(\mathbf{x}, t)|^2 \right] \hat{\Psi}(\mathbf{x}, t)$$

$$i \frac{\partial}{\partial t} \hat{\Psi}(\mathbf{x}, t) = [-\nabla^2 - \mu + g \hat{\Psi}^\dagger(\mathbf{x}, t) \hat{\Psi}(\mathbf{x}, t)] \hat{\Psi}(\mathbf{x}, t)$$

$\hat{\Psi}(\mathbf{x})$  : ボース場の演算子

$\mu$  : 化学ポテンシャル

$g$  : 相互作用の結合定数

# 1 次揺らぎまで残した平均場近似

$$i\frac{\partial}{\partial t}\hat{\Psi}(\mathbf{x}, t) = [-\nabla^2 - \mu + g\hat{\Psi}^\dagger(\mathbf{x}, t)\hat{\Psi}(\mathbf{x}, t)]\hat{\Psi}(\mathbf{x}, t)$$

$\hat{\Psi}(\mathbf{x}, t) = \Phi(\mathbf{x}, t) + \hat{\chi}(\mathbf{x}, t) + \hat{\zeta}(\mathbf{x}, t)$  : ボース場

$\Phi(\mathbf{x}, t) = O(\sqrt{N_0})$  : BEC の巨視的波動関数 (平均場)

$\hat{\chi}(\mathbf{x}, t) = O(1)$  : BEC の 1 次揺らぎ

$\hat{\zeta}(\mathbf{x}, t) = O(1/\sqrt{N_0})$  : 高次揺らぎ (無視)

## GP方程式とBdG方程式

$$i\frac{\partial\Phi}{\partial t} = [-\nabla^2 - \mu + g(|\Phi|^2 + 2\langle\hat{\chi}^\dagger\hat{\chi}\rangle)]\Phi + g\langle\hat{\chi}\hat{\chi}\rangle\Phi^* : \text{GP}$$

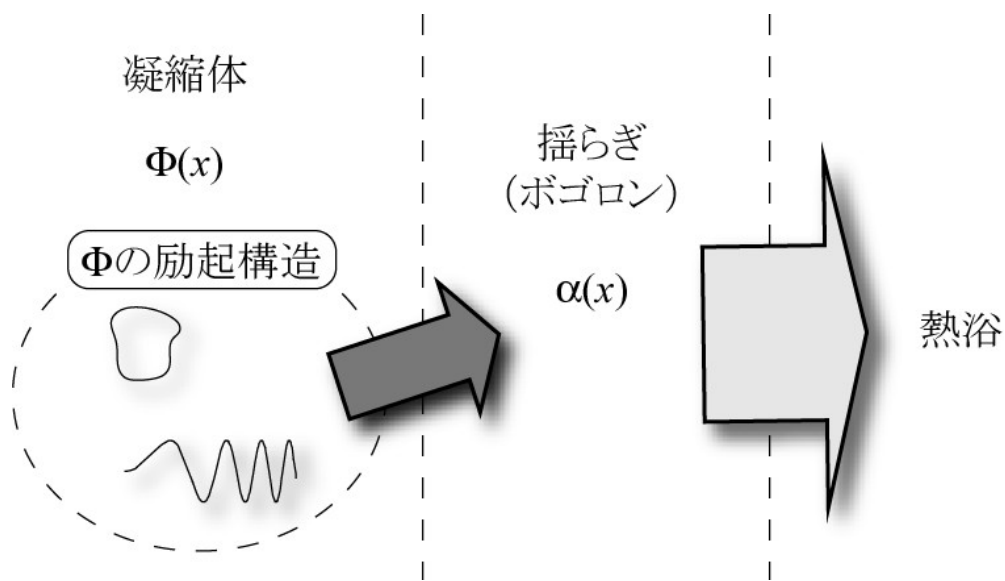
$$i\frac{\partial\hat{\chi}}{\partial t} = [-\nabla^2 - \mu + 2g|\Phi|^2]\hat{\chi} + g\Phi^2\chi^\dagger : \text{BdG}$$

# 局所平衡近似

$$\hat{\chi}(\mathbf{x}, t) = \frac{1}{\sqrt{V}} \sum_j \phi_j(\mathbf{x}, t) \hat{a}_j = \frac{1}{\sqrt{V}} \sum_j [u_j(\mathbf{x}, t) \hat{\alpha}_j + v_j^*(\mathbf{x}, t) \hat{\alpha}_j^\dagger]$$

$$\langle \alpha_j^\dagger \alpha_j \rangle = N_j = \frac{1}{\exp[E_j/T] - 1}$$

局所平衡近似



：素励起 (ボゴロン) は熱浴と結合し、エネルギーは熱浴へ散逸する

# 計算方法

$$i \frac{\partial \Phi}{\partial t} = [-\nabla^2 - \mu + g(|\Phi|^2 + 2n_e)]\Phi + gm_e \Phi^*$$

$$i \frac{\partial u_j}{\partial t} = [-\nabla^2 - \mu + 2g|\Phi|^2]u_j - g\Phi^2 v_j = A_j$$

$$i \frac{\partial v_j}{\partial t} = -[-\nabla^2 - \mu + 2g|\Phi|^2]v_j + g\Phi^{*2}u_j = B_j$$

$$n_e = \sum_j [ |u_j|^2 N_j + |v_j|^2 (N_j + 1) ] : \text{素励起 (非凝縮体) の密度}$$

$$m_e = - \sum_j [u_j v_j^* (2N_j + 1)]$$

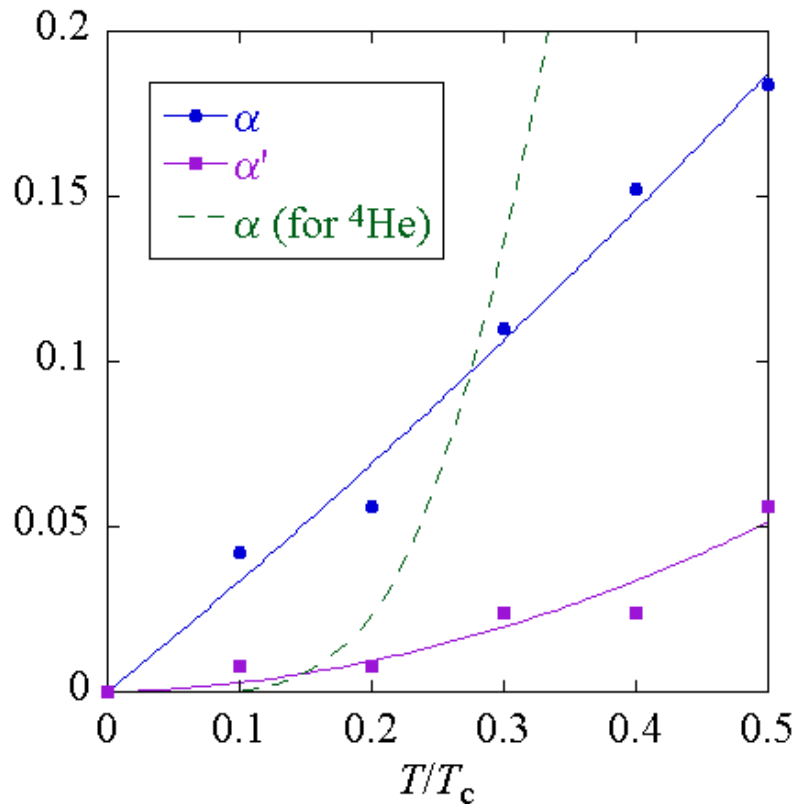
$$E_j = \int d\mathbf{x} \operatorname{Re}[u_j^* A_j + v_j^* B_j] : \text{励起スペクトル}$$

$$\begin{aligned} E_j u_j &= [k_j^2 - \mu + 2g|\Phi|^2]u_j - g\Phi^2 v_j \\ E_j v_j &= -[k_j^2 - \mu + 2g|\Phi|^2]v_j + g\Phi^{*2}u_j \end{aligned}$$

素励起の初期条件：  
一様定常解

# 1本の渦でのシミュレーション：相互摩擦係数の計算

相互摩擦係数の温度依存性



$$T_c = 4\pi / \{\zeta(3/2)\}^{2/3}$$

:理想ボース気体のボース凝縮転移温度

相互摩擦係数は温度とともに上昇する

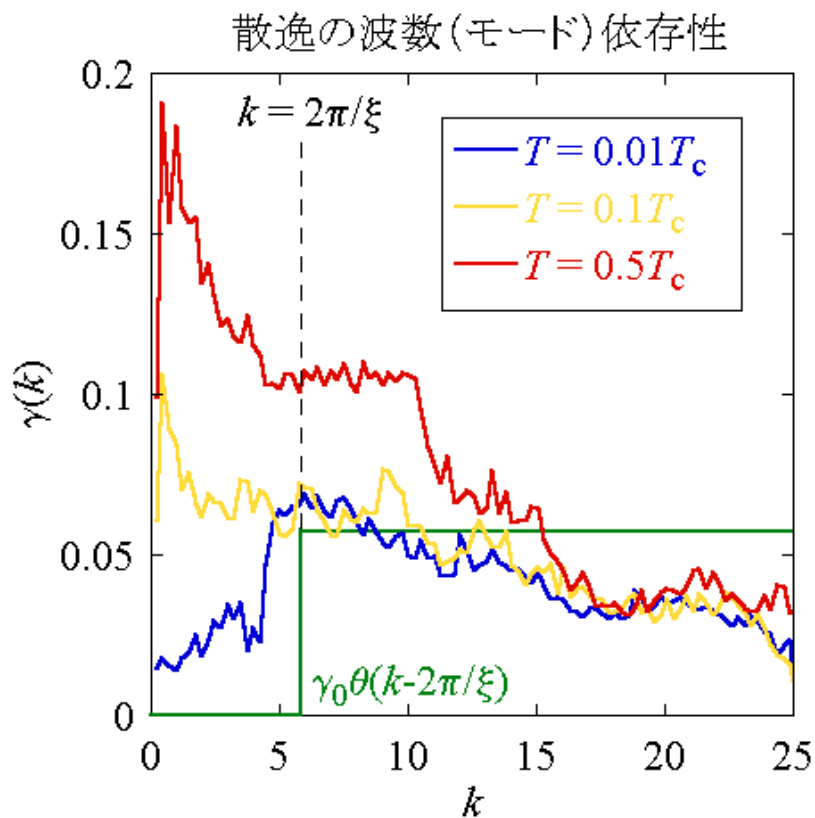
→超流動Heの相互摩擦係数と定性的に一致

→ただし定量的には一致しない（液体Heは強相関系）





# 超流動乱流中でのシミュレーション



( $t > 1$ での平均)

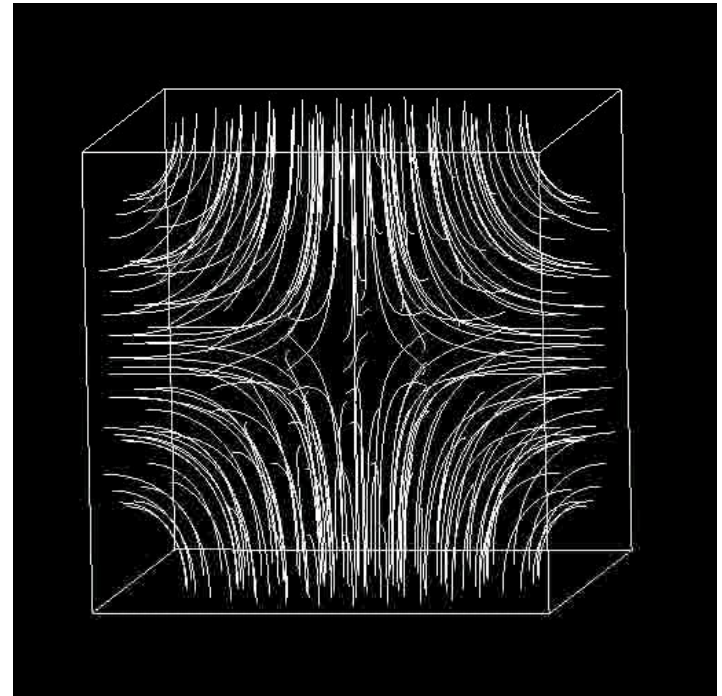
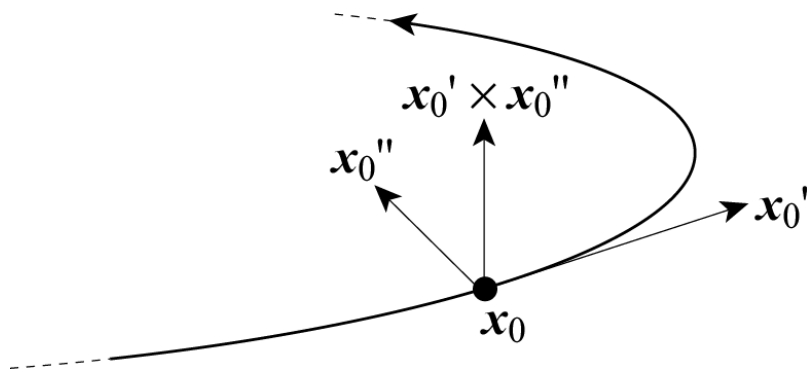
高温では  
 低温では、散逸が低波数領域にま  
 散逸が高波数領域のみ  
 で効いている  
 → 渦が散逸され、量子  
 渦短波長の影響受けるのみ  
 がoldogorov渦が破れ  
 る?)。

→ 超流動Heの相互摩擦  
 力に類似



# Theoretical and Numerical Study of Quantum Turbulence

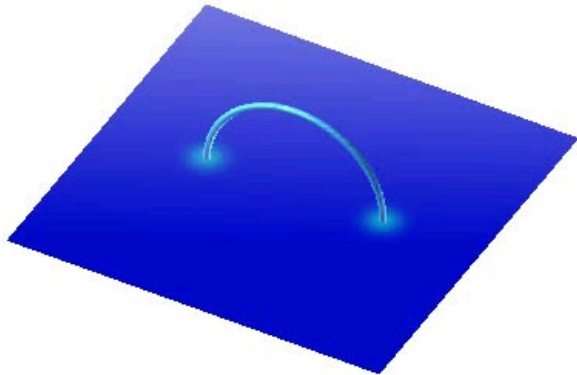
## Vortex-filament model



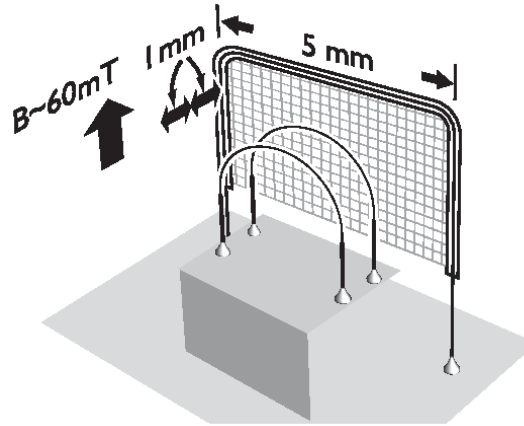
$$\frac{\partial \mathbf{x}_0(t)}{\partial t} = \mathbf{v}_s(\mathbf{x}_0)$$
$$\mathbf{v}_s(\mathbf{x}) = \mathbf{v}_{\text{ind}}(\mathbf{x}) + \mathbf{v}_{\text{sa}}(\mathbf{x})$$
$$\mathbf{v}_{\text{ind}}(\mathbf{x}) = \frac{\kappa}{4\pi} \int \frac{[\mathbf{x}_0(t) - \mathbf{x}] \times d\mathbf{x}_0(t)}{|\mathbf{x}_0(t) - \mathbf{x}|^3}$$



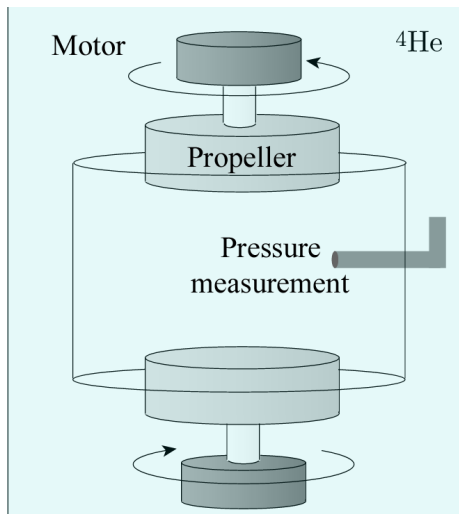
# Experimental Study of Quantum Turbulence



Vibrating wire (Osaka)



Oscillating grid  
(Oregon, Lancaster)



Two-counter  
rotating disks  
(Paris)

All experiments are done  
in superfluid helium

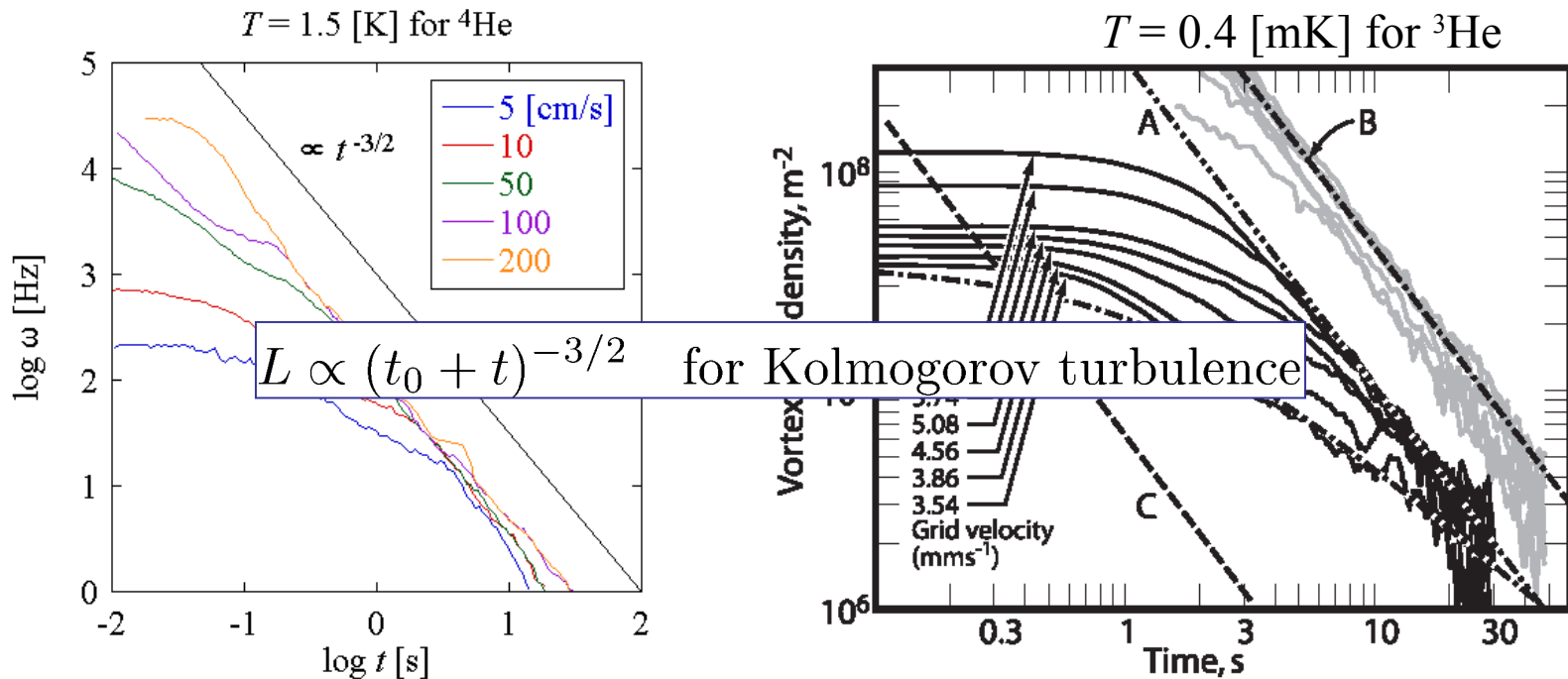




# Experimental Study of Quantum Turbulence

S. R. Stalp, L. Skrbek, and R. J. Donnelly, Phys. Rev. Lett. **82**, 4831 (1999)

D. L. Bradley *et al.* Phys. Rev. Lett. **96**, 035301 (2-6)

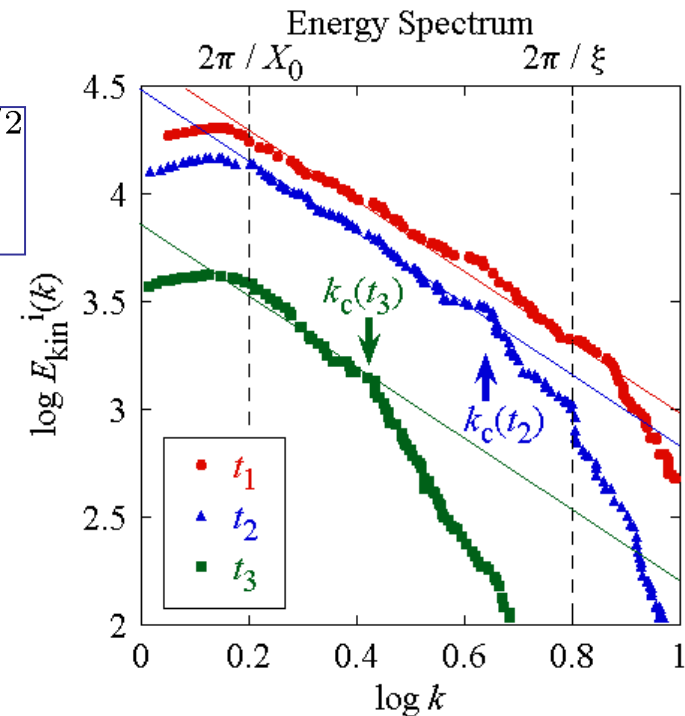
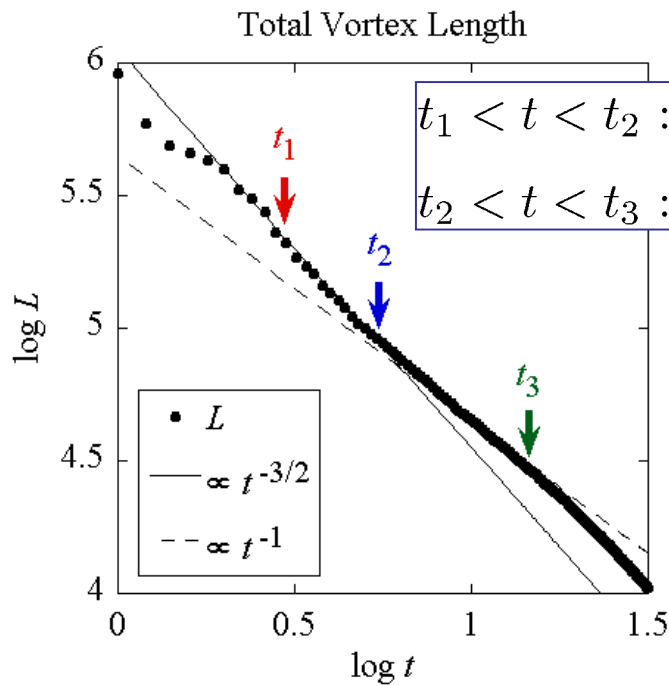


Some self-similar structures in quantum turbulence were observed.



# Self-similar Structure in Quantum Turbulence

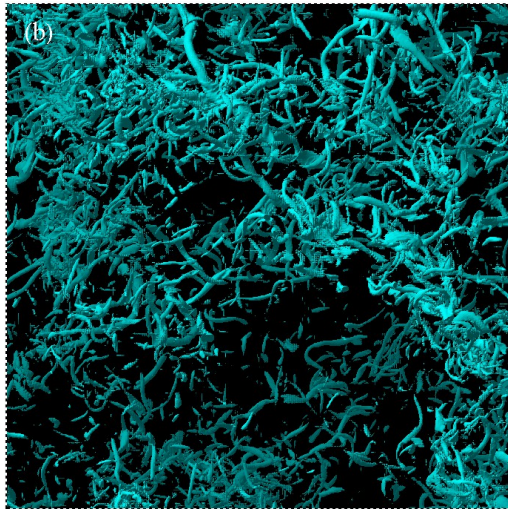
## Simulation of the Gross-Pitaevskii equation



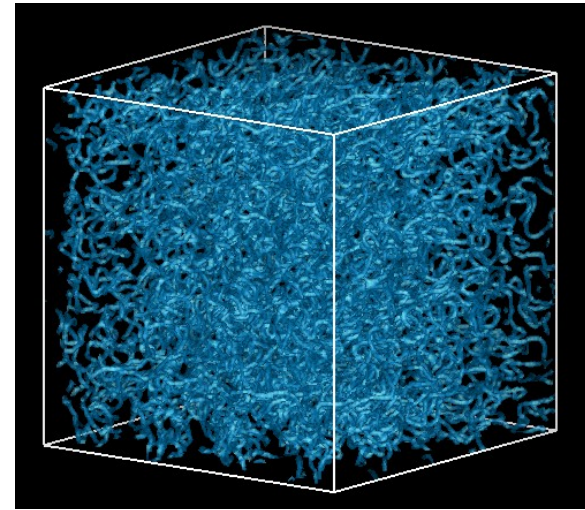
Kolmogorov spectrum was also obtained in the simulation of the Gross-Pitaevskii equation (and the vortex-filament model)

# 2, Proposal for Quantum Turbulence in Atomic BECs

Why is quantum turbulence important?



Classical turbulence:  
vortices are indefinite

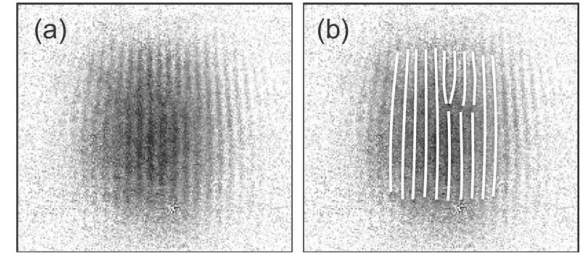
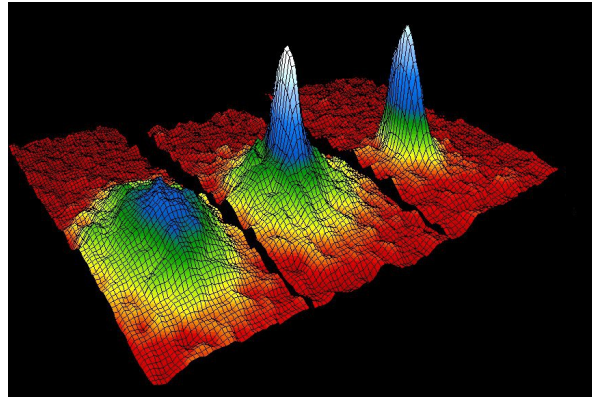
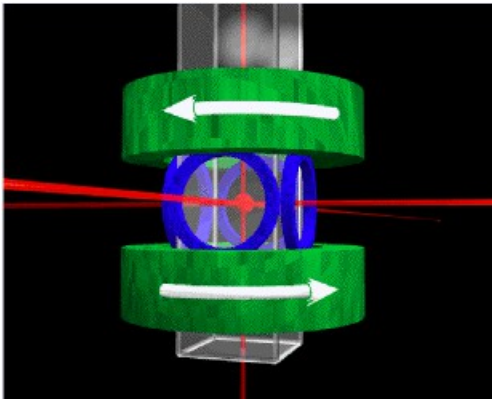


Quantum turbulence:  
vortices are definite

It becomes possible to consider

- Self-similar (fractal) structure of vortices
- Size distribution of vortex loops
- Cascade process of vortices

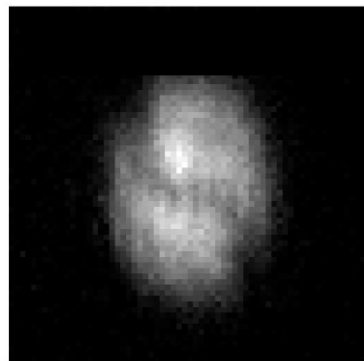
# Quantized Vortices in Atomic BECs



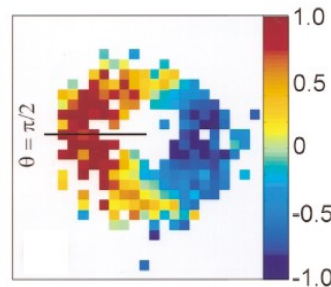
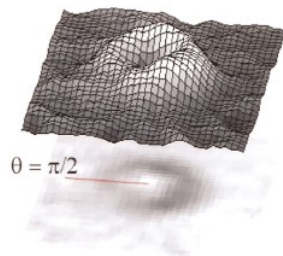
Y. Shin et al. PRA  
72, 021604(2005)

## Atomic BEC

V. Bretin et al. PRL  
90, 100403(2003)



M. R. Matthews et al.  
PRL 83, 2498(1999)



K. W. Madison et al.  
PRL 86, 4443(2001)

